

## 論 文

# マンガンによる熔銑の脱硫に関する研究 (I)\*

(炭素飽和熔鉄中の Mn-S 平衡—その一)

佐野幸吉\*\*・井上道雄\*\*\*

## STUDIES ON THE DESULPHORIZATION OF MOLTEN PIG IRON BY MANGANESE (I)

**(Mn-S Equilibrium in C-saturated Molten Iron—Part 1)**

*Kōkichi Sano, Dr. Sci. Michio Inouye*

**Synopsis:**

It is necessary to obtain the intimate knowledge of desulphurizing power of manganese, which always exists in molten iron during the iron and steelmaking processes. However, it should be pointed out that whilst many studies on the desulphurizing power of manganese had been established, there was no good agreement in their results perhaps because little attention was given to behaviour of sulphur in liquid iron.

Because recently the activity of sulphur in liquid iron containing various alloying elements had been determined, the authors tried to study the equilibrium between manganese and sulphur dissolved in liquid iron and to ascertain the desulphurizing power of manganese on the standpoint of sulphur potential. On this first report, the Mn-S equilibrium in carbon saturated iron was determined between 1200° and 1500°C.

The results obtained were in good agreement with those of W. Oelsen. It is noteworthy that the results suggested the possibility of decreasing sulphur content of pig iron containing more than 1% manganese to be useful for steelmaking by lowering the temperature to about 1200°C. Such effective desulphurizing power of manganese was ascribed to high sulphur potential in liquid iron. Assuming the activity coefficient of sulphur in these Fe-Csat-Mn-S melts was expressed thus,

$$\log f_S = \log f'_S + \log f_S^{(C)} + \log f_S^{(Mn)}$$

it was presumed that the values of  $f_S$  were nearly constant at any temperature except in the higher manganese concentrations. The equilibrium of manganese and sulphur in molten iron was shown as follows:

$$S + Mn = (MnS) \quad K = \frac{\alpha_{MnS}}{a_S \cdot a_{Mn}} = \frac{\alpha_{MnS}}{f_S[S\%] \cdot f_{Mn}[Mn\%]}$$

and from experimental data it was apparent that the product  $[S\%][Mn\%]$  was also approximately constant at comparatively lower temperatures. Although the activity coefficient of manganese in such solution had not yet been determined, it might be regarded as constant in lower sulphur concentrations and carbon saturation. On this assumption, in the above range  $\alpha_{MnS}$  might be also constant and the apparent equilibrium constant  $K' = [S\%][Mn\%]$  was conveniently substituted for the equilibrium constant  $K$  and written.

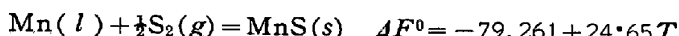
$$\log K' = -\frac{9763}{T} + 5.197$$

and then the following thermodynamical data were obtained,

$$S + Mn = (MnS) \quad \Delta F^0 = -47,741 + 28.49T$$

\* 昭和 29 年 4 月, 昭和 31 年 4 月本会講演大会において発表

\*\* 名古屋大学工学部教授, 理博 \*\*\* 同 助教授



Compared the data of carbon solubility in these experiments with those of Fe-Mn-C melts, the effect of dissolved sulphur on carbon solubility in liquid iron were discussed. In lower sulphur concentrations, the following equation given by *Turkdogan et al.* might be applied,

$$\Delta N_C^S = -N_S \quad \text{when } N_S < 0.005$$

where  $\Delta N_C^S$  was the atom fraction of carbon which was displaced from carbon saturated solution by dissolved sulphur and  $N_S$  was the atom fraction of sulphur in Fe-C-S melts.

## I. 緒 言

Mnによる脱硫に関する研究は今までかなり多くみられ<sup>1)2)3)4)5)6)</sup>、実験室における研究以外にも、実際の操業においてもこの問題を取扱つたものは少くない。とくに高炉出銑後から混銑炉内に貯えられる間の所謂熔銑の自然脱硫なる現象はすでによく知られているところである。Mnによる脱硫の機構については概ね明らかにされており、熔銑中における硫化マンガンもしくは硫化マンガンに富む硫化物の生成、浮上、分離によるものと解釈されている。しかしながらこれまでの諸家の研究結果からMnによる脱硫限度を求めてみると、それ等の結果は必ずしもよく一致しているとはいひ難い。しかも多くは断片的なもので広い範囲にわたつて系統立つた研究というのとW. Oelsen<sup>6)</sup>のもの以外にはほとんどないといつてよい。

Mnは製鉄製鋼の過程において通常つねに熔鐵中に存在するものであるからその正しい脱硫力についての知識を把握しておくことは、銑鋼一貫の全過程を通じ、脱硫をいかに合理的に処理するかを決めるためにも必要欠くべからざるものであると考えられる。ところでMnの脱硫力とはなにかといえば簡単には熔鐵中のMnとSとの親和力とFeとSとの親和力との差ができる。この考へにもとづいて、著者の一人<sup>1)</sup>はかつて二、三の仮定のもとに熱力学的計算によりMnの脱硫力を求めたが、その結果によれば、Mnの脱硫力は決して期待しうる程強いものではなく、むしろ弱いことができる。このことは熔鐵に溶解するSの活量係数がほぼ1と見做される純鉄若しくは合金元素の少い鋼では、たとえ仮りにかなり低温度まで過冷できるとしてもMnはほとんど脱硫の役に立たないことを意味する。しかし銑鉄となると一般にかなりのC, Si, Mn等を含み、これ等合金元素の存在は、熔鐵中のSの活量係数に大きな影響をおよぼすことが近年明らかにされ<sup>8)</sup>、それによると銑鉄の場合はかなり被脱硫性が増大することが知られる。かくして始めて元来弱い脱硫力しか持つていないMnも、銑鉄のごとく被脱硫性の高い場合においてのみ脱硫

に対し有効であることを理解することができる。か様な観点に立つて考えると、脱硫される側の熔銑の組成いかんによってその被脱硫性が変ることになるから、結局Mnによる脱硫効果もこれによつて影響されることが少くないであろう。この点を考慮しなかつた事が従来の諸家の研究結果が一致を見ない一つの原因と考えられる。そこで本研究においては、この点に重点をおき、Mnによる脱硫効果が熔銑のいかなる条件のもとで最も有効であるかを明らかにせんとしたもので、本報においては先づ炭素飽和系における熔鐵中のMn-S間の平衡に関する実験結果を述べることにする。

## II. 試料および実験装置

### (1) 試料

本実験に使用した試料はすべて実験室で合成したFe-C合金、Fe-C-S合金およびFe-C-Mn合金を原料として用いた。Fe-C合金は電解鉄(昭和電工製)を破碎し、黒鉛粉と混せて黒鉛坩堝(黒鉛電極を加工したもの)に装入し、クリプトル電気炉で熔製した。Fe-C-S合金はこのFe-C母合金に適宜硫化鉄を添加して熔製した。硫化鉄は次の如くして合成したものである。すなわち電解鉄を硝酸に溶解、硝酸鉄となし、これを除々に加熱して酸化鉄としたものを水素で1000°Cで2時間還元、ついで600°~700°Cで硫化水素を3時間通じて硫化してえた。これ等母合金の分析結果は次の通りである。

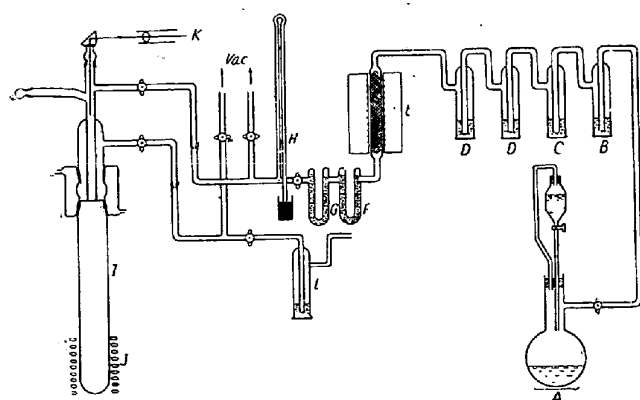
	C	Si	Mn	P	S
Fe-C 合金	4.45	0.015	tr.	0.005	—
Fe-C-S合金	3.92	0.020	0.01	0.006	1.59
	Ni	Cr	Cu		
Fe-C 合金	0.003	0.006	0.003		
Fe-C-S合金	0.003	0.012	0.023		

個々の平衡測定にはこれ等を適宜組合せて用いた。

### (2) 実験装置

実験装置はFig. 1 a, bに示す。

主要部はFig. 1 a, bに示すごとく、試料を入れた



A CO gas generator  
 B  $\text{H}_2\text{SO}_4$   
 C KOH  
 D Alkali pyrogallol  
 E Cu-net furnace 450°C  
 F Soda lime +  $\text{CaCl}_2$   
 G  $\text{P}_2\text{O}_5$   
 H Hg-Manometer  
 I Reaction tube  
 J High frequency induction furnace  
 K Optical pyrometer  
 L  $\text{H}_2\text{SO}_4$

Fig. 1-a. Diagram of Apparatus.

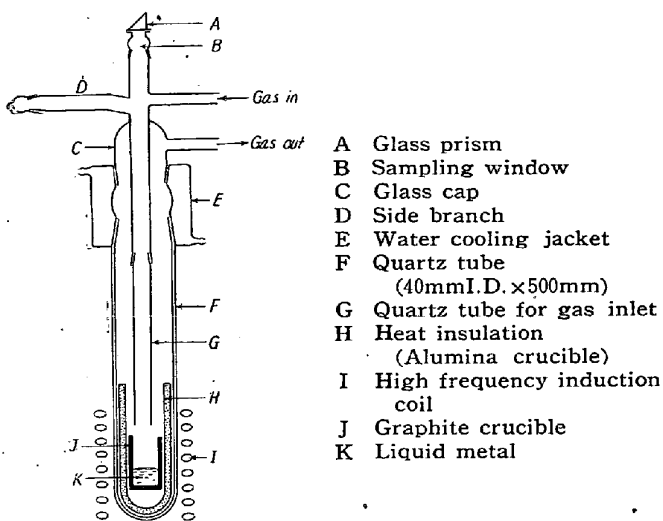


Fig. 1-b. Furnace assembly.

黒鉛坩堝（内径 22 mm, 高さ 50 mm）を断熱用のアルミナ坩堝で保護して、一端を封じた不透明石英反応管（内径 40 mm, 高さ 500 mm）に入れ高周波誘導コイル中にセットする。反応管上部のパイレックスガラス製のキャップを通じて、必要に応じ真空に吸引しあるいは CO ガスを導入しうるごとく真空装置およびガス発生装置に連結する。またキャップの枝管中には Fe-Mn 合金を入れておき、熔融試料中に磁石によって投入操作を行う。キャップの上端は観察窓をかねた分析試料採取口があり、この上のプリズムを通して光高温計により測温できるようになっている。CO ガスは普通に行われているように濃硫酸と蟻酸から発生させ、Fig. 1-a のごとく、濃硫酸、苛性カリ 30% 溶液、アルカリピロガロール溶液の洗滌瓶を通して洗滌、さらに 450°C に加熱した銅網管、ソーダライムおよび  $\text{CaCl}_2$  管、 $\text{P}_2\text{O}_5$  管を順次通して充

分乾燥して反応管に導く。試料の溶解には 20KVA の水銀火花間隙式高周波誘導炉によつた。

### III. 実験方法および結果

**実験方法：**前記の Fe-C 合金および Fe-C-S 合金を適宜配合して S が予想平衡値より高くなるように約 25~30 g を黒鉛坩堝に入れ、反応管内に収めて Fig. 1-a に示すようにセットする。添加すべき Fe-Mn は枝管中に入れておく。黒鉛坩堝は加熱の際揮発分がガスとなつて発生し、光高温計の読みを防害するので、これを防ぐため予め実験温度より幾らか高い温度で真空に ( $10^{-4}$  mmHg) 吸引しながら約 30 分空焼きする。試料を入れた後、再び真空となし徐々に加熱して溶解し、試料中に含まれるガスをできるだけ除去せしめ、ついで一旦凝固せしめた後、徐々に充分洗滌乾燥した CO ガスを導入し 1 気圧とし、以後毎分約 30~40cc の割合でガスを系内に流す。ついで高周波炉に通電し試料を溶解、所定温度に達し、ほぼ温度の変動がなくなつた後、枝管中の Fe-Mn を磁石により手早く熔融試料中に投入する。逆に Fe-C-Mn 合金をさきに溶解しおき、枝管中から Fe-S を投入してもよいわけであるが、Mn-S 平衡時の正しい C 溶解度を求めるために実験は前者の方法を選んだ、Fe-Mn 投入後平衡に達するに要する時間は、熔鉄中の残留 S が一定値を示すまでの時間と C が飽和するまでの時間を併せて考慮した。予備実験により、Fe-Mn 投入後 Mn-S 間の平衡はかなり速やかに進行し、1300°Cにおいて 15 分後には残留 S はほぼ一定値を示すことを知つた。また C の飽和するまでの時間は、1300°C における S 0.28% を含む試料についての測定結果によれば、飽和点近くでは C 1% につき約 1 時間を要した。これ等の結果から、各平衡測定には、試料の配合割合を考慮し 30 分ないし 90 分を目標にした。

所定温度に保持した後、観察窓のキャップを外し、内径 3~4 mm の薄肉石英管を挿入して、約 10~15 g の試料を吸上げ、素早く水中に急冷して分析に供する。石英管の上部には銅線を入れておき試料の急冷を助けるようにした。かくしてえられた分析試料はすべて完全に白鉄となつており、特に C 分析に際し試料採取による誤差を極力少くすることができた。分析試料は破碎し、C 分析には 25~65 mesh に粒度を揃え、S および Mn 分析には -65 mesh の粉末を用いた。C 分析は燃焼法を用い、S はすべて重量法により  $\text{BaSO}_4$  として求め、Mn は蓄鉛酸ソーダ法によつた。

以上の実験とともに、真の平衡点を確めるために、逆

Table 1. Equilibrium data on C-saturated Fe-Mn-S melts at various temperatures.

Heat No.	Temp (°C)	Time (mn)	Initial S %	Metal pct. at Equilibrium			$K'' = [\text{Mn}][\text{S}]$	$f_s$ (Calc)	Remarks
				C	Mn	S			
62	1500	120	0.58	5.05	2.25	0.198	0.446	4.48	
65	"	"	0.65	5.07	2.46	0.188	0.462	4.46	
67	"	"	0.55	5.11	3.78	0.129	0.503	4.28	
★70	1400→1500	15→60	0.58	—	3.36	0.146	0.492	—	Desulphurized by Fe-Mn addition
★71	"	20→120	0.55	5.11	3.06	0.205	0.628	4.41	Desulphurized by Fe-Mn addition at 1400°C and attained to equilibrium at 1500°C
★72	"	20→60	0.30	3.18	4.15	0.135	0.560	4.37	
74	1500	60	0.47	5.00	1.47	0.317	0.467	4.51	
77	"	"	0.32	4.98	1.75	0.290	0.507	4.41	
95	"	"	1.04	5.00	1.05	0.537	0.563	4.54	
96	"	"	1.03	4.98	0.71	0.613	0.436	4.53	
97	"	"	0.77	5.06	1.67	0.328	0.548	4.58	
99	"	"	0.67	5.06	2.33	0.232	0.541	4.46	
100	"	"	0.71	5.20	3.44	0.131	0.452	4.56	
101	"	"	0.40	5.21	4.07	0.122	0.496	4.42	
102	"	"	0.41	5.13	3.97	0.137	0.543	4.30	
103	"	"	0.30	5.17	5.19	0.094	0.490	4.10	
105	"	"	1.55	4.93	0.63	0.592	0.372	4.46	
106	"	"	1.14	4.98	0.87	0.546	0.475	4.52	
108	"	"	0.31	5.22	4.97	0.096	0.474	4.21	
109	"	"	1.57	4.92	0.44	1.139	0.502	4.34	
110	"	"	1.00	4.90	0.69	0.815	0.567	4.31	
★112	1400→1500	20→60	0.40	5.05	1.87	0.229	0.428	4.55	Desulphurized by Fe-Mn addition at 1400°C and attained to equilibrium at 1500°C
★113	"	"	0.40	5.02	1.04	0.433	0.452	4.60	
30	1400	40	0.31	4.96	4.72	0.046	0.217	3.81	
34	"	90	0.53	4.79	1.24	0.196	0.243	4.16	
36	"	60	0.28	4.78	1.98	0.117	0.241	4.03	
37	"	"	0.36	4.91	2.92	0.092	0.269	4.06	
38	"	"	0.28	4.82	1.74	0.153	0.266	4.12	
39	"	50	0.65	4.89	2.07	0.123	0.257	4.19	
40	"	"	0.96	4.72	0.79	0.369	0.288	4.06	
41	"	"	0.96	4.80	1.13	0.210	0.237	4.30	
42	"	60	0.68	4.89	2.25	0.081	0.183	4.19	
44	"	"	0.68	4.93	2.96	0.078	0.232	4.09	
46	"	"	0.63	4.84	1.85	0.114	0.211	4.18	
50	"	"	0.94	4.72	0.34	0.611	0.209	4.09	
51	"	"	0.27	4.95	3.53	0.062	0.218	4.05	
★54	1300→1400	20→60	0.32	4.87	2.40	0.094	0.226	4.10	Desulphurized by Fe-Mn addition at 1300°C and attained to equilibrium at 1400°C
★55	"	"	0.30	4.85	1.75	0.122	0.214	4.21	
★56	"	"	0.28	4.85	1.54	0.165	0.254	4.25	
86	1400	60	0.65	4.94	3.12	0.073	0.229	4.09	Desulphurized by Fe-Mn addition
87	"	"	0.30	4.98	5.12	0.050	0.257	3.76	
88	"	"	0.35	4.92	4.12	0.055	0.225	3.86	Desulphurized by Fe-Mn addition at 1300°C and attained to equilibrium at 1400°C
★89	1300→1400	20→70	0.50	4.78	0.99	0.239	0.237	4.19	
91	1400	60	0.40	4.95	3.82	0.062	0.237	4.01	
111	"	"	4.71	0.40	0.607	0.243	4.08		
2-a	1300	20	0.38	4.46	0.58	0.164	0.0950	3.69	
-b	"	"	4.46	0.79	0.100	0.0789	3.67		
-c	"	"	4.58	1.27	0.065	0.0817	3.81		
3-a	"	30	0.38	4.55	0.75	0.108	0.0806	3.84	
-b	"	"	4.58	1.29	0.058	0.0747	3.82		
-c	"	"	4.65	2.20	0.042	0.0921	3.86		
4-a	"	"	0.40	4.54	0.57	0.150	0.0860	3.82	
-b	"	"	4.59	1.42	0.064	0.0908	3.81		
-c	"	"	4.61	2.48	0.040	0.1004	3.65		
5-a	"	"	0.40	4.51	1.47	0.059	0.0870	3.67	
-b	"	"	4.56	1.62	0.042	0.0682	3.72		
-c	"	"	4.69	2.58	0.031	0.0795	3.79		
6-a	"	"	0.35	4.50	0.37	0.194	0.0726	3.76	
-c	"	"	4.61	1.115	0.075	0.0830	3.91		
7-a	"	"	Mn=2.36	—	1.48	0.062	0.0917		
-b	"	"	—	—	0.81	0.112	0.0909		
-c	"	"	—	—	0.44	0.166	0.0722		
14-a	"	"	Mn=2.12	—	1.38	0.069	0.0955		Demanganezed by Fe-S addition
-b	"	"	—	—	1.17	0.072	0.0848		
-c	"	"	—	—	1.04	0.086	0.0895		
16-a	"	"	0.59	4.51	0.33	0.249	0.0819	3.84	
-b	"	"	—	—	4.50	0.70	0.105	3.79	
-c	"	"	—	—	4.58	1.04	0.074	3.81	
9-a	1200	20	0.58	4.29	0.148	0.252	0.0373	3.55	
-b	"	"	—	—	4.33	0.44	0.100	3.57	
-c	"	"	—	—	0.84	0.057	0.0475		
10-a	"	30	0.58	—	0.13	0.281	0.0377		
-b	"	"	—	4.34	0.49	0.081	0.0395	3.57	
-c	"	20	—	—	0.92	0.040	0.0368	3.49	
11-a	"	30	0.58	4.39	1.38	0.028	0.0380	3.53	
-b	"	"	—	4.41	1.71	0.022	0.0370	3.49	
12-a	"	"	0.23	4.40	0.61	0.074	0.0447	3.65	
-b	"	"	—	4.36	0.78	0.048	0.0376	3.58	
-c	"	"	—	—	1.03	0.045	0.0457		
13-a	"	35	0.28	4.38	0.76	0.068	0.0510	3.59	
-b	"	30	—	4.40	1.23	0.040	0.0490	3.54	
-c	"	"	—	4.46	1.47	0.033	0.0482	3.51	
27-a	"	40	0.32	4.34	1.31	0.030	0.0396	3.44	
-b	"	35	—	4.35	1.85	0.021	0.0379	3.39	
81-a	"	60	0.20	4.45	2.25	0.025	0.0562	3.47	
-b	"	45	—	4.59	3.39	0.018	0.0623	3.48	
-c	"	45	—	4.64	4.27	0.012	0.0525	3.40	
82-a	"	60	0.20	4.51	2.65	0.014	0.0365	3.47	
-b	"	40	—	4.49	3.82	0.019	0.0726	3.28	
-c	"	30	—	4.58	4.04	0.011	0.0445	3.37	

反応すなわち脱硫生成物たる Sulphide slag (主成分は MnS と考えられる) から、熔鉄中への Mn, S の溶解の方向から平衡を測定した。この目的のためには、目的とする温度より低い温度で、たとえば 1500°C の測定のときは、1400°C で Fe-Mn を投入して一旦脱硫させついで目的の温度つまり 1500°C に昇温して、あらためて一定時間保ち、前記のごとくして試料を採取して分析する。この方法は 1400°C, 1500°C の測定に際して併用して平衡の到達を確認することができた。

本実験中温度測定はプリズムを通して光高温計によつた。低い温度では裸の湯面は現われず、1400°C 以上でははじめて一部見られるが、激しい湯の動搖のため見難いので、つねに皮膜（黒鉛の粉末が湯面を cover している）の部分で測温した。光高温計の補正は、同じ条件で白金・白金ロヂウム熱電対を直接湯の中に挿入して行つた。本実験範囲では試料の組成の変化によつて影響を認められなかつた。

**実験結果：**実験は 1200°～1500°C にわたり、100°C おきに Mn-S 平衡曲線を求めた。結果は Table 1 および Fig. 2 に示す。Table 1 に示す★印は、前記のごとく逆反応を狙つたもので、それぞれ Fig. 2 の●, △印のものがこれに相当し、すなわちそれぞれ 1300°C および 1400°C で Fe-Mn を投入し一旦脱硫させた後、1400° および 1500°C にあげて平衡を求めたものである。このときも約 1 時間保持を目標としたが、Mn および S の sulphide slag からの溶解は案外早かつた。これ等は概ねよく他の測定点と同一曲線上にあり、Mn と S は互いに平衡に到達しているものと考えてよい。1200° および 1300°C については特に逆反応の測定は行わなか

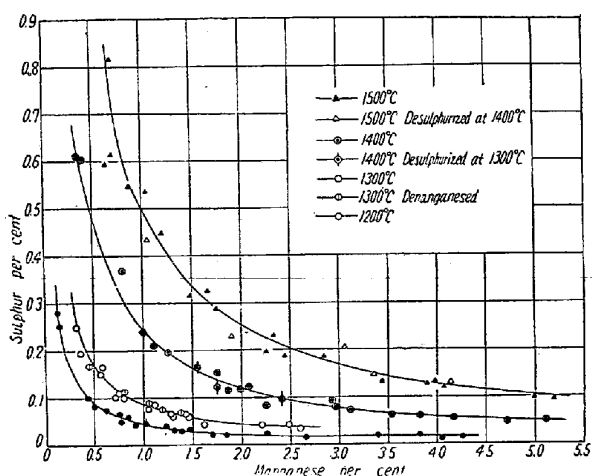


Fig. 2. Mn-S Equilibrium in C saturated iron at various temperatures under CO atmosphere.

つたが、同様に平衡に到達しているものと考える。1300°C の①印のものは、あらかじめ熔鉄に Mn を含有させておき、Fe-S 合金を投入して脱 Mn を行い平衡を求めたもので、別に逆反応を意味するものではないが、この時は正しい C 溶解度を求めることができなかつた。これは S を含む熔鉄においては、C 溶解度が減ずる場合、容易に C を吐出さないからである。なお Table 1 に示す同一熔番の a, b, c, は同一溶解試料について順次 Fe-Mn を投入して継続して脱硫の方向から平衡を求めたものである。

本実験結果から明らかなように、Mn による脱硫は高炉内におけるような高温度では、われわれが目標とする程度には、たとえ C が飽和していても期待できないのであるが、1200°C 程度に温度が降下すれば、いちじるしく脱硫が進み、熱力学的には弱い脱硫力しか持たないとされている<sup>1)</sup> Mn でもかなりの効果があることが知られる。たとえば Mn 1～2% を含む平炉鉄を例にとると、出銑後温度が 1200°C まで降下して脱硫が進むとすると特別の脱硫処理をしなくとも S 0.04% 以下にすることが可能で、製鋼原料として差支ない程度になることは注目に値する。

本実験結果から得た各温度における脱硫限度を、これ

Table 2. Limits of desulphurization by manganese at various temperatures.

Temp (°C)	Mn Pct	Limits of desulphurization, S pct.			
		Authors	Oelsen	*Wen- strup	+ Sch- enck
1200	0.5	0.088	0.100	—	—
	1.0	0.044	0.052	—	—
	1.5	0.027	0.027	—	—
	2.0	0.022	0.023	—	—
	2.5	0.017	0.018	—	—
1300	0.5	0.165	0.205	0.38	—
	1.0	0.080	0.105	0.10	—
	1.5	0.060	0.070	0.07	—
	2.0	0.045	0.055	0.07	—
	2.5	0.037	—	—	—
1400	0.5	0.465	0.47	0.55	1.08
	1.0	0.240	0.25	0.31	0.63
	1.5	0.162	0.17	0.17	0.39
	2.0	0.120	0.13	0.12	0.27
	2.5	0.095	0.11	—	0.20
1500	0.5	—	0.75	1.10	—
	1.0	0.500	0.42	0.60	—
	1.5	0.338	0.30	—	—
	2.0	0.254	0.25	—	—
	2.5	0.205	0.18	—	—

\* C not saturated, Si Contained 2.1%

† C 2.9～5.4%

までに文献に報告された主なるものと比較すると Table 2 に示すような結果になる。文献に見られるものは多く断片的で、系統立つたものは極めて少く、Mn-S 平衡曲線を比較し得るものも少い。しかも成分的にも C が飽和から遠く離れていたり、Si や P などを含んでいたりして条件も異なり、厳密には比較にならないが、それらのうち W. Oelsen<sup>6)</sup> のものは最も新しくかつ詳しいようである。しかし原文が得られないで詳細は不明であるが引用された文献を通して比較すると著者等の値はこれとかなりよく一致している。Wentrup<sup>4)</sup> の値もかなり近いけれども、それらの多くは C が飽和していないし、あるいは Si, P などを含んでいて条件がやや異なっている。H. Schenck<sup>5)</sup> のものは 1400°C の平衡曲線のみ求められているが、相當に著者等の値とはかけ離れている。これもまた C 濃度が広く散らばっており、他の成分についてもあきらかでない。

Fig. 3 は Mn-S 平衡時における C 飽和濃度、すなわち溶解度を示す。熔鉄中への C の溶解度は S によって減

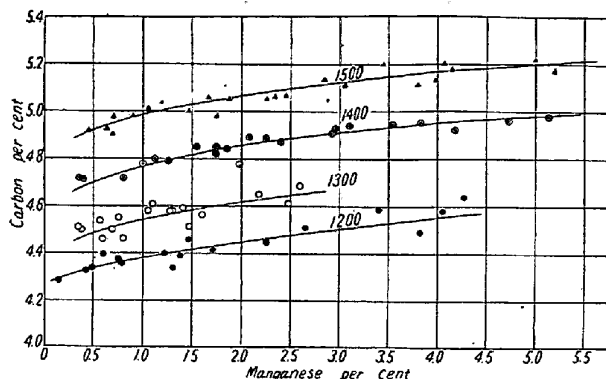


Fig. 3. Carbon solubility in liquid iron at Mn-S equilibrium.

じ Mn によって増加することはよく知られているところであるが、Mn と S が互に平衡にある場合 (Fig. 2 に示すとく)、C の溶解度は両者の影響が加算されて抛物線的に Mn とともに増大し次第に Fe-C-Mn 系の C 溶解度線 (後述 Fig. 8) に接近する。

(昭和31年9月寄稿)

## チルドロール用木炭鉄の研究 (II)\*

(熱的性質)

大 谷 孝 吉\*\*

## STUDY ON THE CHARCOAL PIG IRON FOR CHILLED IRON ROLLS (II)

(Thermal Properties)

Kōkichi Otani

### Synopsis:

On account of the special features of charcoal pig iron that was described in the previous report (Tetsu-to-Hagané, Vol. 43, No 4, 1957, p. 444), it is used for producing chilled iron roll. Heretofore such special features have been considered to be owing to the gas contents, and so scarcely investigated with reference to the thermal factors.

Because the author considered that it had reference to the thermal factors, the following experiments which had been hardly tested were carried out:

- 1) Determination of the heating and the cooling curves in thermal analysis:
- 2) Determination of the anomalous specific heat value:
- 3) Determination of  $A_1$  transformation temperature:
- 4) Determination of thermal conductivities for various pig irons:
- 5) Determination of specific heat for the boron-treated cast iron:

From the above experiments concerning these factors (the anomalous specific heat, thermal radiation thermal conductivity), there were found distinct difference between the charcoal pig iron and the other pig irons.

\* 昭和30年10月、本会講演大会にて発表 \*\* 大谷重工業 K.K. 羽田工場